

НЕКОТОРЫЕ ВОПРОСЫ НЕЛОКАЛЬНОЙ ЭЛЕКТРОДИНАМИКИ БЕСКОНЕЧНЫХ ДЖОЗЕФСОНОВСКИХ КОНТАКТОВ

Ж. Д. Генчев, В. И. Васъкивский

Институт электроники Болгарской академии наук
1784, София, Болгария

Поступила в редакцию 29 марта 1997 г.

Выведены основные уравнения нелокальной джозефсоновской электродинамики, справедливые при любых соотношениях между характерным масштабом изменения разности фаз и величиной толщины контакта. Получен спектр обобщенных волн Свихарта. Изучено влияние конечного поверхностного сопротивления сверхпроводящих электродов на динамику характерных для нелокальной электродинамики вихревых структур.

1. ВВЕДЕНИЕ

Джозефсоновские контакты с большим значением критической плотности тока не могут быть описаны с помощью традиционного уравнения синус-Гордон, когда $\lambda_j(d) \leq \lambda$, где

$$\lambda_j(d) = \sqrt{\frac{\Phi_0}{2\pi\mu_0 j_c (2\lambda + 2d)}} \quad (1)$$

— джозефсоновская длина, λ — лондоновская глубина проникновения, $2d$ — толщина промежуточного несверхпроводящего слоя, $\Phi_0 = h/2|e|$ — квант магнитного потока, а j_c — однородная критическая плотность тока. Джозефсоновские вихри ($\lambda \ll \lambda_j$), соответствующие низким значениям j_c ,

$$j_c \ll j_l \approx \frac{\Phi_0}{4\pi\mu_0\lambda^3} \quad (d \ll \lambda) \quad (2)$$

(используется введенная в [1] терминология), исследуются уже много лет [2], тогда как для вихрей Абрикосова–Джозефсона [1] характерный пространственный масштаб изменения разности фаз φ значительно меньше лондоновской глубины проникновения λ и выполняется противоположное неравенство

$$j_c \gg j_l. \quad (3)$$

Как видно из ряда исследований [3–8], в этом случае магнитостатика и электродинамика джозефсоновского контакта становятся пространственно-нелокальными. В работах [3–8] пренебрегалось влиянием нормальной статической проводимости лондоновских сверхпроводников и не проводился детальный анализ роли конечной толщины нормальной слоя контакта. С учетом обоих факторов в разд. 2 данной статьи выводится интегриродифференциальное уравнение (24), содержащее как временную, так и

пространственную нелокальности. На основе этого уравнения в разд. 3 анализируются спектральные свойства джозефсоновского перехода в линейном приближении. С целью вычисления максимальной толщины нормального слоя, ниже которой начинают проявляться эффекты нелокальности, в Приложении к работе приводится оценка критической плотности тока для идеализированной модели нормальной прослойки в соединении $YBa_2Cu_3O_7$. Наконец, в разд. 4 мы изучаем динамику 4π -кинка в тонком ($d \rightarrow +0$) переходе с током с учетом двух каналов диссипации — квазичастичного туннелирования и поверхностного сопротивления электродов.

2. УРАВНЕНИЯ НЕЛОКАЛЬНОЙ ДЖОЗЕФСОНОВСКОЙ ЭЛЕКТРОДИНАМИКИ

В этом разделе мы получим основные уравнения джозефсоновской электродинамики, справедливые для туннельного перехода произвольной толщины. Будем рассматривать простейшую геометрию в виде двух сверхпроводящих полупространств ($|x| > d$), разделенных несверхпроводящим слоем ($-d \leq x \leq d$). Предполагается однородность системы по y , $\partial/\partial y = 0$. Введем следующее фурье-представление произвольной функции:

$$f(x, z, t) = \int_{-\infty}^{\infty} d\omega \int_{-\infty}^{\infty} dk e^{-i\omega t + ikz} f(\omega, k|x) = \int_{-\infty}^{\infty} d\omega f(\omega, x, z) e^{-i\omega t}. \quad (4)$$

Будем считать, что магнитное поле, направленное по оси y , удовлетворяет граничному условию $H(x = d, z, t) = H(x = -d, z, t)$. Система уравнений Максвелла в сверхпроводниках,

$$-\frac{\partial H(\omega, x, z)}{\partial z} = \sigma_s(\omega) E_x(\omega, x, z), \quad (5a)$$

$$\frac{\partial H(\omega, x, z)}{\partial x} = \sigma_s(\omega) E_z(\omega, x, z), \quad (5b)$$

$$\frac{\partial E_x(\omega, x, z)}{\partial z} - \frac{\partial E_z(\omega, x, z)}{\partial x} = i\mu_0\omega H(\omega, x, z), \quad (5в)$$

где

$$\sigma_s(\omega) = \sigma_{dc} + \frac{i}{\omega\mu_0\lambda^2}, \quad \sigma_{dc} = \operatorname{Re} [\sigma_s(\omega)], \quad (5г)$$

$\sigma_s(\omega)$ — комплексная проводимость и μ_0 — магнитная проницаемость вакуума, имеет решения, представимые в следующем виде:

$$H(\omega, x, z) = \int_{-\infty}^{\infty} dk H(\omega, k) e^{ikz} \begin{cases} \exp[-V_s(\omega, k)(x-d)], & x > d, \\ \exp[V_s(\omega, k)(x+d)], & x < -d, \end{cases} \quad (6)$$

$$E_x(\omega, x, z) = \int_{-\infty}^{\infty} dk \frac{-ik}{\sigma_s(\omega)} H(\omega, k) e^{ikz} \begin{cases} \exp[-V_s(\omega, k)(x-d)], & x > d, \\ \exp[V_s(\omega, k)(x+d)], & x < -d, \end{cases} \quad (7)$$

$$E_z(\omega, x, z) = \int_{-\infty}^{\infty} dk \tilde{\eta}(\omega, k) H(\omega, k) e^{ikz} \begin{cases} \exp[-V_s(\omega, k)(x-d)], & x > d, \\ \exp[V_s(\omega, k)(x+d)], & x < -d, \end{cases} \quad (8)$$

где

$$V_s(\omega, k) = \sqrt{k^2 - i\omega\mu_0\sigma_s(\omega)}, \quad (9)$$

$\text{Re } V_s > 0$, а $\tilde{\eta}(\omega, k) = R_s - iX_s$ — поверхностный импеданс:

$$\tilde{\eta}(\omega, k) = \frac{V_s(\omega, k)}{\sigma_s(\omega)}, \quad (10)$$

имеющий, как следует из (5r), (9), (10), следующую низкочастотную аппроксимацию:

$$\begin{aligned} \tilde{\eta}(\omega, k) &= -i\omega\mu_0\lambda\eta(\omega, k), \\ \eta(\omega, k) &= \sqrt{1 + (k\lambda)^2} \left[1 + i\frac{\omega}{2}\mu_0\lambda^2\sigma_{dc} \frac{1 + 2(k\lambda)^2}{1 + (k\lambda)^2} \right]. \end{aligned} \quad (11)$$

Функция $H(\omega, k)$ может быть найдена, если решить соответствующую систему уравнений Максвелла для туннельного слоя ($|x| < d$):

$$\text{rot } \mathbf{E} = -\mu_0 \frac{\partial \mathbf{H}}{\partial t}, \quad (12)$$

$$\text{rot } \mathbf{H} = \mathbf{i} [j_c \sin \varphi(z, t) + j_{QP}(V)] + \sigma_n \mathbf{E} + \varepsilon_0 \varepsilon_r \frac{\partial \mathbf{E}}{\partial t}, \quad (13)$$

где \mathbf{i} — орт по оси x , ε_0 — диэлектрическая проницаемость вакуума, $\varepsilon_r > 0$ — относительная диэлектрическая проницаемость. Первый член в квадратных скобках в (13) есть джозефсоновская плотность тока, зависящая от разности фаз $\varphi(z, t)$ макроскопической волновой функции спаренных частиц в двух сверхпроводящих областях, $j_{QP}(V)$ — плотность тока туннелированных квазичастиц, зависящая только от приложенной разности потенциалов [2],

$$V \equiv V(z, t) = - \int_{-d}^d E_x(x, z, t) dx = - \frac{\Phi_0}{2\pi} \frac{\partial \varphi}{\partial t}. \quad (14)$$

Здесь последнее равенство выражает соотношение Джозефсона. Покажем, что все компоненты электрического и магнитного полей выражаются через функцию разности фаз $\varphi(z, t)$. Для этого прежде всего введем операцию усреднения по x для произвольной функции $f(x, z, t)$:

$$\begin{aligned} f(x, z, t) &= \langle f(z, t) \rangle + \tilde{f}(x, z, t), \\ \langle f(z, t) \rangle &= \frac{1}{2d} \int_{-d}^d f(x, z, t) dx. \end{aligned} \quad (15)$$

Тогда уравнения (12), (13) сведутся к следующей системе уравнений:

$$-\frac{\partial(H)}{\partial z} = j_c \sin \varphi + j_{QP}(V) + \frac{\Phi_0 \varepsilon_0 \varepsilon_r}{4\pi d} \frac{\partial^2 \varphi}{\partial t^2} + \frac{\Phi_0 \sigma_n}{4\pi d} \frac{\partial \varphi}{\partial t}, \quad (16a)$$

$$-\frac{\partial \tilde{H}}{\partial z} = \sigma_n \tilde{E}_x + \varepsilon_0 \varepsilon_r \frac{\partial \tilde{E}_x}{\partial t}, \quad (16б)$$

$$-\mu_0 \frac{\partial \tilde{H}}{\partial t} = \frac{\partial \tilde{E}_x}{\partial z} + \frac{\tilde{E}_z(x=d)}{d} - \frac{\partial \tilde{E}_z}{\partial x}, \quad (16в)$$

$$\frac{\partial \tilde{H}}{\partial x} = \sigma_n \tilde{E}_z + \varepsilon_0 \varepsilon_r \frac{\partial \tilde{E}_z}{\partial t}, \quad (16г)$$

$$-d\mu_0 \frac{\partial(H)}{\partial t} = \frac{\Phi_0}{4\pi} \frac{\partial^2 \varphi}{\partial z \partial t} - \tilde{E}_z(x=d, z, t). \quad (16д)$$

При выводе уравнений (16) мы использовали равенство $\langle E_z \rangle = 0$ и граничные условия $\tilde{H}(x=d) = \tilde{H}(x=-d)$ и $\tilde{E}_z(x=d) = -\tilde{E}_z(x=-d)$, которые соответствуют предположению в (6)–(8) описанию электромагнитного поля вне туннельного барьера. Заметим, что эти предположения не справедливы в случае различного материала сверхпроводников.

Решение уравнений (16б–г) для \tilde{H} , \tilde{E}_x , \tilde{E}_z может быть записано в следующем виде:

$$\begin{aligned} \tilde{H}(x, z, t) &= \int_{-\infty}^{\infty} \int_{-\infty}^{\infty} d\omega dk e^{-i\omega t + ikz} k \frac{\sigma_n - i\varepsilon_0 \varepsilon_r \omega}{V_n} \left[\text{ch}(V_n x) - \frac{\text{sh}(V_n d)}{V_n d} \right] A(\omega, k), \\ \tilde{E}_x(x, z, t) &= \int_{-\infty}^{\infty} \int_{-\infty}^{\infty} d\omega dk e^{-i\omega t + ikz} \frac{-ik^2}{V_n} \left[\text{ch}(V_n x) - \frac{\text{sh}(V_n d)}{V_n d} \right] A(\omega, k), \\ \tilde{E}_z(x, z, t) &= \int_{-\infty}^{\infty} \int_{-\infty}^{\infty} d\omega dk e^{-i\omega t + ikz} k \text{sh}(V_n x) A(\omega, k), \end{aligned} \quad (17)$$

где

$$V_n \equiv V_n(\omega, k) = \sqrt{k^2 - i\omega\mu_0\sigma_n - \frac{\varepsilon_r}{c^2}\omega^2}, \quad \text{Re } V_n > 0, \quad (18)$$

σ_n — проводимость нормальной прослойки. Требуя непрерывности тангенциальных компонент электромагнитного поля на границах $x = \pm d$, получаем

$$A(\omega, k) = \frac{-i\omega\mu_0\lambda\eta}{k \text{sh}(V_n d)} H(\omega, k) \quad (19)$$

и

$$H(\omega, k) = \frac{-ik\Phi_0\varphi(\omega, k)}{4\pi\mu_0} \left\{ d + \lambda\eta \left[1 + \frac{k_0^2 \varepsilon_n(\omega)}{V_n^2} [1 - V_n d \text{cth}(V_n d)] \right] \right\}^{-1}, \quad (21)$$

где $k_0 = \omega/c$, $\varepsilon_n(\omega) = \varepsilon_r + i\sigma_n/\omega\varepsilon_0$,

$$\varphi(\omega, k) = \iint_{-\infty}^{\infty} \frac{dt dz'}{(2\pi)^2} e^{i\omega t - ikz'} \varphi(z, t), \quad (21)$$

а также находим

$$\langle H(z, t) \rangle = -\frac{\Phi_0}{2\pi\mu_0} \iint_{-\infty}^{\infty} dt' dz' Q(z - z', t - t') \frac{\partial \varphi(z', t')}{\partial z'}, \quad (22)$$

$$Q(z, t) = \iint_{-\infty}^{\infty} \frac{d\omega dk}{8\pi^2 d} e^{-i\omega t + ikz} \times \\ \times \frac{d + \lambda\eta(\omega, k) \frac{k_0^2 \varepsilon_n(\omega)}{V_n^2(\omega, k)} [1 - dV_n(\omega, k) \operatorname{cth}(dV_n(\omega, k))]}{d + \lambda\eta(\omega, k) \left\{ 1 + \frac{k_0^2 \varepsilon_n(\omega)}{V_n^2(\omega, k)} [1 - dV_n(\omega, k) \operatorname{cth}(dV_n(\omega, k))] \right\}}. \quad (23)$$

Связь между магнитным полем и разностью фаз в общем случае оказывается нелокальной как в пространстве, так и во времени. Из (16а) получаем обобщение уравнения синус-Гордон для разности фаз в виде следующего интегродифференциального уравнения:

$$\sin \varphi + \frac{\alpha}{\omega_j} \frac{\partial \varphi}{\partial t} + \frac{1}{\omega_j^2} \frac{\partial^2 \varphi}{\partial t^2} = 2\lambda_j^2 \lambda \frac{\partial}{\partial z} \iint_{-\infty}^{\infty} dt' dz' Q(z - z', t - t') \frac{\partial \varphi(z', t')}{\partial z'}, \quad (24)$$

где $\lambda_j^2 = \Phi_0/4\pi\mu_0 j_c \lambda$ — квадрат джозефсоновской длины (1), соответствующей пределу $d \rightarrow +0$; $\omega_j^2 = 4\pi d j_c / \Phi_0 \varepsilon_0 \varepsilon_r$, $\alpha = (\sigma_{QP} + \sigma_n)/\omega_j \varepsilon_0 \varepsilon_r$ и в (16а) введена линеаризация квазичастичной туннельной плотности тока $j_{QP}(V) \approx \sigma_{QP}(E_x)$.

Формально полученное уравнение отличается от использованных ранее [1, 3, 8] только включением интегрирования по времени и более сложным выражением для ядра.

3. О СПЕКТРАЛЬНЫХ СВОЙСТВАХ ДЖОЗЕФСОНОВСКОГО ПЕРЕХОДА

Рассмотрим предел линейной теории волн Свихарта [2, 9], соответствующий случаю малых возмущений разности фаз, позволяющих воспользоваться приближением $\sin \varphi \approx \varphi$. В этом пределе будем искать решение линеаризованного уравнения (24) в виде $\varphi \propto \exp(-i\omega t + ikz)$. Введя обозначения

$$\delta = d/\lambda, \quad q = k\lambda_j, \quad \Omega = \omega/\omega_j, \quad \varepsilon = \lambda_j/\lambda \quad (25)$$

и пренебрегая эффектами затухания, получим дисперсионное уравнение волн Свихарта в следующем виде:

$$(\Omega^2 - 1) \left\{ \delta + \sqrt{1 + \left(\frac{q}{\varepsilon}\right)^2} \left[1 + \frac{\delta^3 \Omega^2}{\varepsilon^2} G(V_d) \right] \right\} = q^2 \left\{ 1 + \frac{\delta^2 \Omega^2}{\varepsilon^2} \sqrt{1 + \left(\frac{q}{\varepsilon}\right)^2} G(V_d) \right\}, \quad (26)$$

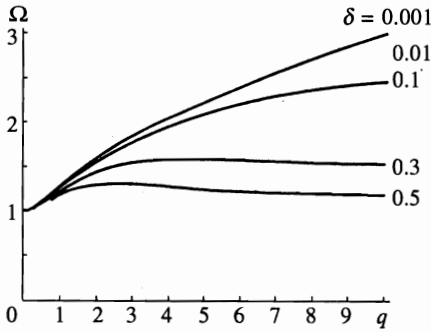


Рис. 1

Рис. 1. Зависимость $\Omega(q)$ для $\varepsilon = 0.8$ и различных значений δ

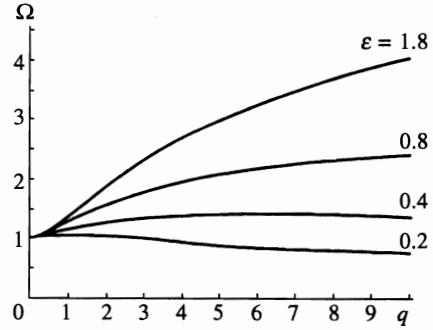


Рис. 2

Рис. 2. Зависимость $\Omega(q)$ для $\delta = 0.1$ и различных значений ε

$$G(V_d) = \begin{cases} \frac{1}{V_d^2}(1 - V_d \operatorname{cth} V_d), & V_d^2 = \frac{\delta^2}{\varepsilon^2}(q^2 - \Omega^2\delta) \text{ при } q^2 > \Omega^2\delta, \\ -1/3 & \text{при } q^2 = \Omega^2\delta, \\ -\frac{1}{V_d^2}(1 - V_d \operatorname{ctg} V_d), & V_d^2 = \frac{\delta^2}{\varepsilon^2}(\Omega^2\delta - q^2) \text{ при } q^2 < \Omega^2\delta. \end{cases} \quad (27)$$

Значение волнового вектора в точке перегиба дисперсионной кривой может быть найдено из уравнения

$$C_1^2 x^3 + (C_1^2 - 2C_1 C_2)x^2 + (C_2^2 - 2C_1 C_2)x + C_2^2(1 - \delta^2) = 0, \quad (28)$$

где

$$x = (q/\varepsilon)^2 = (k\lambda)^2, \quad C_1 = 1 + \delta^3/3\varepsilon^2, \quad C_2 = \delta/\varepsilon^2.$$

Частота Ω для $k = 0$ совпадает с полученной ранее [9]. Но асимптотическое поведение в пределе коротких волн ($q^2 \gg \Omega^2\delta, q \gg \varepsilon$) дает $\Omega^2 \rightarrow \varepsilon^2/\delta$ при $q \rightarrow +\infty$, что приводит к асимптотическому значению частоты равному

$$\bar{\omega} = \frac{c}{\lambda\sqrt{\varepsilon_r}}. \quad (29)$$

Результаты численных расчетов зависимости $\Omega(q)$ при некоторых значениях параметров ε и δ приведены на рис. 1 и 2. Возможность реализации большой критической плотности тока ($\varepsilon \leq 1$) при варьировании толщины нормального слоя в интервале $0 \leq \delta \leq \delta_m$ продемонстрирована в Приложении.

Учитывая рассмотренные выше особенности спектральных свойств джозефсоновского перехода, можно получить условие применимости низкочастотной аппроксимации в виде

$$\max(\omega_j, \bar{\omega})\mu_0\lambda^2\sigma_{dc} \ll 1. \quad (30)$$

Существенное упрощение выражения (23) для ядра возможно только для контактов достаточно малой толщины, для которых $|V_n|d \ll 1$, что выполняется при двух условиях

$$\begin{aligned} kd &\ll 1, \\ \frac{\omega}{\bar{\omega}} \frac{d}{\lambda} &\ll 1, \end{aligned} \quad (31)$$

откуда видно, что для справедливости данного упрощения для всего спектра необходимо, чтобы $d \ll \lambda$. Тогда при выполнении условий (30) и (31) с учетом, что $\lim_{x \rightarrow 0} [(1 - x \operatorname{cth} x)/x^2] = -1/3$, для ядра получаем

$$Q(\omega, k) = \frac{1}{2} \frac{1 - i\omega\tau(k)}{d + \lambda\sqrt{1 + (k\lambda)^2}}, \quad (32)$$

где

$$\tau(k) = \mu_0 \lambda^3 \left\{ \frac{\sigma_{dc}}{2} \frac{1 + 2(k\lambda)^2}{1 + (k\lambda)^2} + \frac{\sigma_n d}{3\lambda} \sqrt{1 + (k\lambda)^2} \right\} \frac{\sqrt{1 + (k\lambda)^2}}{d + \lambda\sqrt{1 + (k\lambda)^2}}.$$

Действительная часть уравнения (32) совпадает с выражением, использовавшимся ранее для исследования эффектов нелокальной джозефсоновской электродинамики [1, 8].

4. БЕГУЩИЙ 4π-КИНК В ТУННЕЛЬНОМ ПЕРЕХОДЕ С ТОКОМ

В этом разделе рассмотрим некоторые следствия общей теории для тонкого ($d \rightarrow +0$) туннельного перехода с током, введя в правую часть уравнения (24) безразмерную однородную плотность транспортного тока j_{dc}/j_c (геометрия с перекрытием [2]). В случае тонкого перехода из (23), (24), (32) имеем

$$\begin{aligned} \frac{\partial^2 \varphi}{\partial t^2} + \alpha \frac{\partial \varphi}{\partial t} + \sin \varphi - \gamma &= \int_{-\infty}^{\infty} dz' \times \\ &\times \left\{ \int_{-\infty}^{\infty} \frac{dk}{2\pi V(k)} e^{ik(z-z')} \left(1 + \beta \frac{\varepsilon^2 + 2k^2}{\varepsilon^2 + k^2} \frac{\partial}{\partial t} \right) \frac{\partial^2 \varphi(z', t)}{\partial z'^2} \right\}. \end{aligned} \quad (33)$$

Здесь и в дальнейшем используются безразмерные переменные с заменой

$$\omega_j t \rightarrow t, \quad z/\lambda_j \rightarrow z, \quad \omega/\omega_j \rightarrow \omega, \quad \lambda_j k \rightarrow k$$

и введены следующие обозначения:

$$V(k) = \sqrt{1 + \left(\frac{k}{\varepsilon}\right)^2}, \quad \beta = \frac{1}{2} \omega_j \mu_0 \lambda^2 \sigma_{dc}, \quad \gamma = \frac{j_{dc}}{j_c}.$$

Параметр β учитывает эффект конечного поверхностного сопротивления сверхпроводящих электродов, а определение ε дано в (25). Используя интегральное представление

функции Макдональда:

$$\frac{1}{2\pi} \int_{-\infty}^{\infty} \frac{dk e^{ikz}}{\sqrt{1 + (k/\varepsilon)^2}} = \frac{\varepsilon}{\pi} K_0(\varepsilon|z|), \quad \varepsilon > 0, \quad (34)$$

вычисляем интегралы в (33) и окончательно получаем

$$\frac{\partial^2 \varphi}{\partial t^2} + \alpha \frac{\partial \varphi}{\partial t} + \sin \varphi - \gamma = \frac{\varepsilon}{\pi} \int_{-\infty}^{\infty} dz' \times \\ \times \left\{ \left(K_0(\varepsilon|z - z'|) + \beta [2K_0(\varepsilon|z - z'|) + \varepsilon|z - z'|K_0'(\varepsilon|z - z'|)] \frac{\partial}{\partial t} \right) \frac{\partial^2 \varphi(z', t)}{\partial z'^2} \right\}. \quad (35)$$

Здесь штрих означает дифференцирование функции по ее аргументу, так что справедливо следующее равенство:

$$\left(1 + \varepsilon \frac{\partial}{\partial \varepsilon} \right) \varepsilon K_0(\varepsilon|z|) = \varepsilon [2K_0(\varepsilon|z|) + \varepsilon|z|K_0'(\varepsilon|z|)]. \quad (36)$$

Для анализа динамики бегущих (с пока еще не найденной скоростью $v = \bar{c}\nu = \lambda_j \omega_j \nu$) вихрей в джозефсоновском контакте ограничим наше рассмотрение только решениями вида

$$\varphi(z, t) = \phi(\zeta = z - \nu t). \quad (37)$$

Ввиду соотношения Джозефсона (14) бегущая волна (37) содержит информацию о характеристике напряжение–плотность тока γ ,

$$V(\zeta) = \frac{\Phi_0 \omega_j}{2\pi} \nu \Phi'(\zeta). \quad (38)$$

Для 4π-кинка имеем следующие граничные условия:

$$\begin{aligned} \phi(+\infty) - \phi(-\infty) &= 4\pi, \\ \phi^{(1,2)}(\pm\infty) &= 0, \end{aligned} \quad (39)$$

а безразмерная скорость вихря ν должна быть определена как собственное значение уравнения

$$\begin{aligned} \nu^2 \phi''(\zeta) - \alpha \nu \phi'(\zeta) + \sin \phi(\zeta) - \gamma &= \frac{\varepsilon}{\pi} \int_{-\infty}^{\infty} du \times \\ \times \left\{ \left(K_0(\varepsilon|\zeta - u|) - \beta \nu [2K_0(\varepsilon|\zeta - u|) + \varepsilon|\zeta - u|K_0'(\varepsilon|\zeta - u|)] \frac{d}{du} \right) \phi''(u) \right\} \end{aligned} \quad (40)$$

при выполнении граничных условий (39). Отметим, что если $\beta = 0$, то (40) совпадает с соотношением (11) из [1]. Случай $\varepsilon \rightarrow \infty$ соответствует обычному джозефсоновскому вихрю. Рассматривая только контакты с большой плотностью j_c ($\varepsilon \ll 1$), мы имеем дело с так называемыми мелкомасштабными вихрями Абрикосова–Джозефсона [1, 10].

Тогда для функции $K_0(u)$ правомерно использовать ее асимптотическое выражение для малого аргумента $K_0(u) = \ln(2/u)$.

Учитывая второе условие (39), а также равенство

$$\int_{-\infty}^{\infty} \ln(|\zeta - u|) \phi^{(2,3)}(u) du = - \int_{-\infty}^{\infty} \frac{du \phi^{(1,2)}(u)}{u - \zeta} \quad (41)$$

(\int обозначает главное значение интеграла по Коши), трансформируем (40) в следующее уравнение:

$$\nu^2 \phi''(\zeta) - \alpha \nu \phi'(\zeta) + \sin \phi(\zeta) - \gamma = \frac{\varepsilon}{\pi} \int_{-\infty}^{\infty} \frac{du}{u - \zeta} \left(\frac{d\phi}{du} - 2\beta \nu \frac{d^2 \phi}{du^2} \right). \quad (42)$$

Исследование бегущего 2π -кинка на основе данного уравнения в условиях сильной диссипации ($\alpha \gg 1$) выполнено в [1] при $\beta = 0$ и в [11] при $\beta \neq 0$. Здесь, имея в виду граничные условия (39), введем в рассмотрение следующий анзац:

$$\phi(\zeta) = \theta + 4 \operatorname{arctg} \frac{\zeta}{s}, \quad (43)$$

где s — размер сердцевинки движущегося вихря, а

$$\gamma = \sin \theta \leq 1. \quad (44)$$

Заметим также, что при $s = \varepsilon$, $\nu^2 = \varepsilon^2$ формула (43) дает точное решение задачи для бестокового бездиссипативного 4π -кинка ($\alpha = \beta = \gamma = 0$) [12]. Для оценки безразмерной скорости ν вихря для контакта с током ($\gamma \neq 0$) при учете диссипации ($\alpha \neq 0$, $\beta \neq 0$) достаточно из (42) вывести два уравнения для неизвестных варьируемых параметров s и ν . Умножая (42) на $\phi'(\zeta)$ и интегрируя по ζ , получаем соотношение, выражающее баланс силы трения и силы Лоренца:

$$\alpha \nu \int_{-\infty}^{\infty} \phi'^2(\zeta) d\zeta + 64 \varepsilon s \beta \nu \int_{-\infty}^{\infty} \frac{u^2 du}{(u^2 + s^2)^3} = -4\pi \gamma. \quad (45)$$

Для получения второго интегрального соотношения умножим (42) на $\phi''(\zeta)$ и снова проинтегрируем по ζ . Это дает

$$\nu^2 \int_{-\infty}^{\infty} \phi''^2 d\zeta + \int_{-\infty}^{\infty} \phi'' \sin \phi d\zeta = 16 \varepsilon s \int_{-\infty}^{\infty} \frac{s^2 - u^2}{(s^2 + u^2)^3} du. \quad (46)$$

В результате использования тождества

$$\sin[\theta + 4 \operatorname{arctg} a] = \frac{a^4 - 6a^2 + 1}{(1 + a^2)^2} \sin \theta + \frac{4a(1 - a^2)}{(1 + a^2)^2} \cos \theta \quad (47)$$

и вычисления интегралов в (45) и (46) получаем требуемые два уравнения для ν и s :

$$\begin{aligned} 2\nu \left(\alpha + \frac{\varepsilon}{s} \beta \right) &= -s\gamma, \\ \nu^2 &= \varepsilon s. \end{aligned} \quad (48)$$

Исключая s , находим безразмерную скорость вихря

$$\nu = A + B - \frac{2\alpha\varepsilon}{3\gamma}, \quad (49)$$

где

$$\begin{aligned} A &= \left(-\frac{q}{2} + \sqrt{Q} \right)^{1/3}, \quad B = \left(-\frac{q}{2} - \sqrt{Q} \right)^{1/3}, \\ \frac{q}{2} &= \left[\left(\frac{2\alpha}{3\gamma} \right)^3 + \frac{\beta}{\gamma} \right] \varepsilon^3, \quad Q = \left(1 + \frac{16\alpha^3}{27\gamma^2\beta} \right) \frac{\beta^2}{\gamma^2} \varepsilon^6. \end{aligned}$$

5. ЗАКЛЮЧЕНИЕ

Мы сформулировали основные уравнения нелокальной электродинамики для одностороннего джозефсоновского туннельного перехода произвольной толщины, расположенного между двумя одинаковыми полубесконечными сверхпроводниками с конечной нормальной статической проводимостью. В линейном приближении численно исследовано дисперсионное уравнение для рассматриваемого джозефсоновского контакта. Проанализированы условия применимости существующих в настоящее время теорий нелокальной джозефсоновской электродинамики. Развита теория тонкого перехода с учетом конечного поверхностного сопротивления сверхпроводящих электродов. Получены оценки для скорости и размера сердцевинки 4π -кинка в такой структуре.

Мы хотели бы выразить благодарность Ю. М. Алиеву за обсуждение результатов, а также Национальному научному фонду Болгарии.

ПРИЛОЖЕНИЕ

Некоторые оценки зависимости джозефсоновской критической плотности тока от толщины нормального слоя

Приведем оценку максимальной толщины нормального слоя (или безразмерного параметра $\delta_m = d_m/\lambda$), ниже которой начинают проявляться эффекты нелокальности, а именно, для конкретности введем определение (см. (1), (25))

$$\varepsilon(\delta_m) = 1. \quad (\text{П.1})$$

считая, что обычная локальная джозефсоновская электродинамика соответствует условию $\varepsilon \gg 1$, а для переходов с большой критической плотностью тока имеем $\varepsilon < 1$. Простейшую оценку для плотности тока в туннельном слое $|x| < d$,

$$j = -\frac{ie\hbar}{m_s} [\Psi^*(x)\Psi'(x) - \Psi(x)\Psi'^*(x)], \quad (\text{П.2})$$

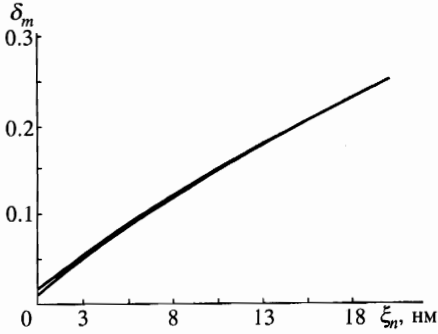


Рис. 3. Зависимости параметра δ_m от длины когерентности нормального слоя ξ_n

найдем интегрированием уравнения Шредингера (см. ниже (П.7) при $b_n = 0$)

$$\xi_n^2 \Psi''(x) = \Psi(x) \tag{П.3а}$$

с граничными условиями

$$\Psi(\pm d) = \sqrt{n_s} \exp(i\theta_{1,2}). \tag{П.3б}$$

Результат этих простых вычислений хорошо известен (формула (8.19) из [13]) и имеет следующий вид ($\lambda = \sqrt{m_s/4e^2\mu_0 n_s}$):

$$j = j_c \sin(\theta_2 - \theta_1), \tag{П.4а}$$

$$j_c(d) = \frac{\Phi_0}{2\pi\mu_0\lambda^2\xi_n \operatorname{sh}(2d/\xi_n)}. \tag{П.4б}$$

По различным экспериментальным оценкам [14, 15] для межзеренной границы в пленке $\text{YBa}_2\text{Cu}_3\text{O}_7$ при $T = 4.2$ К длина когерентности нормальной прослойки $\xi_n = 1\text{--}10$ нм, а для лондоновской глубины проникновения имеем $\lambda = 140$ нм. На основе этих данных формула (П.1) сводится к следующему уравнению:

$$\xi_n \operatorname{sh}(2d_m/\xi_n) = 2(\lambda + d_m), \tag{П.5}$$

и на рис. 3 параметр $\delta_m = d_m/\lambda$ показан в виде функции длины когерентности ξ_n в нормальном слое. Данный численный пример и рис. 3 показывают, что при $\varepsilon \sim 1$ необходим учет конечной толщины нормального слоя контакта, при этом $0 \neq \delta \leq \delta_m$, а $\delta_m \sim 0.1$.

Для контактов с весьма большой плотностью критического тока ($\varepsilon \ll 1$), на наш взгляд, целесообразно провести оценки для соотношения ток-фаза на основе модифицированных уравнений Гинзбурга-Ландау ($a_n > 0, b_n \geq 0$)

$$\frac{\hbar^2}{2m_s} \frac{d^2\Psi}{dx^2} + |a_s|\Psi - b_s|\Psi|^2\Psi = 0, \quad |x| > d, \tag{П.6}$$

$$\frac{\hbar^2}{2m_n} \frac{d^2\Psi}{dx^2} - a_n\Psi - b_n|\Psi|^2\Psi = 0, \quad |x| < d, \tag{П.7}$$

учитывая следующие оценки для кристалла YBCO [16]:

$$m_s = 8m_e, \quad |a_s(T)| = 1.2 \cdot 10^{-21} \left(\frac{T_c - T}{T_c} \right) \text{ Дж}, \quad b_s = 4 \cdot 10^{-49} \text{ Дж} \cdot \text{м}^3. \quad (\text{П.8})$$

Действительно, как показано в [17] для частного случая $m_s = m_n$, $b_s = b_n$, расходимость плотности критического тока (П.4б) при $d \rightarrow +0$ устраняется, и в пределе весьма тонких переходов джозефсоновская плотность тока переходит в плотность тока распаривания:

$$\lim_{d \rightarrow 0} j_c(d) = \frac{\Phi_0}{3\sqrt{3} \pi \mu_0 \lambda^2 \xi_s}, \quad (\text{П.9})$$

где $\xi_s = \hbar / \sqrt{2m_s |a_s|}$.

Литература

1. A. Gurevich, Phys. Rev. B **48**, 12857 (1993).
2. А. Бароне, Дж. Патерно, *Эффект Джозефсона. Физика и применения*, Мир, Москва (1984).
3. Ю. М. Алиев и др., ЖЭТФ **107**, 972 (1995).
4. A. F. Volkov, Physica C **192**, 306 (1991).
5. R. G. Mints and I. B. Shapiro, Phys. Rev. B **49**, 6188 (1994).
6. G. L. Alfimov and A. F. Popkov, Phys. Rev. B **52**, 4503 (1995).
7. A. Gurevich and L. D. Cooley, Phys. Rev. B **50**, 13563 (1994).
8. Ю. М. Алиев, В. П. Силин, ЖЭТФ **104**, 2526 (1993).
9. В. П. Силин, Письма в ЖЭТФ **58**, 726 (1993).
10. В. П. Силин, ЖЭТФ **110**, 741 (1996).
11. Z. D. Genchev, Superconductor Science and Technology **10**, 543 (1997).
12. Yu. M. Aliev and V. P. Silin, Phys. Lett. A **177**, 259 (1993).
13. T. P. Orlando and K. A. Delin, *Foundations of Applied Superconductivity*, Addison-Wisley Ltd, New York (1991).
14. E. Polturak, G. Koren, D. Cohen et al., Phys. Rev. Lett. **67**, 3038 (1991).
15. R. Gross, *Interfaces in Superconducting Systems*, ed. by S. L. Shinde and D. Rudman, Springer, New York (1996), Ch. 6.
16. Л. Н. Булаевский, В. Л. Гинзбург, А. А. Собянин, ЖЭТФ **94**, 355 (1988).
17. F. Sols and J. Ferrer, Phys. Rev. B **49**, 15913 (1994).